

циональных преобразователей или микропроцессорной техники измерения автоматизируются, появляется возможность нахождения комплекса параметров и их использования в системах управления излучателем.

## ЛИТЕРАТУРА

1. ГОСТ 24453—80. Измерения параметров и характеристик лазерного излучения.
2. ГОСТ 26086—84. Лазеры. Методы измерения диаметра пучка и энергетической расходности излучения.
3. Мирский Г. Я. Аппаратурное определение характеристик случайных процессов.—М.: Энергия, 1972.
4. Катрич А. Б., Кузьмичев В. М. К вопросу определения энергетического центра и диаметра пучка излучения оптического квантового генератора // Квантовая электроника.—1975.—Т. 2, № 1.
5. Катрич А. Б., Кузьмичев В. М., Худошин А. В. Измерение параметров пучков излучения при нелинейной характеристике преобразования // Тез. докл. на 5-й Всесоюз. конф. «Фотометрия и ее метрологическое обеспечение».—М.: Изд-во ВНИИОФИ, 1984.

Поступило в редакцию 8 октября 1985 г.

УДК 535.36.375 : 621

В. И. ПРОЦЬ, И. П. СТАВИЦКИЙ, М. Ф. СТУПАК  
(Новосибирск)

## ПОЛУЧЕНИЕ ОДНОЧНЫХ СУБНАСЕКУНДНЫХ ИМПУЛЬСОВ В ЛАЗЕРЕ С ВРМБ-ВТР-ЗЕРКАЛОМ

Опубликовано уже довольно много работ (см., например, [1]) по твердотельным лазерам, у которых одно или оба зеркала резонатора являются нелинейными зеркалами, работающими на вынужденном рассеянии Мандельштама — Бриллюэна (ВРМБ-зеркало) или на вынужденном температурном рассеянии (ВТР-зеркало). Интерес к этому новому типу зеркальных резонаторов обусловлен существенным положительным влиянием обращения волнового фронта (ОВФ) в нелинейных зеркалах на характеристики лазерного излучения.

Нами отмечалось [2, 3], что конкуренция или одновременное развитие нескольких нелинейных процессов в ВРМБ-ВТР-зеркалах могут приводить к большому разнообразию режимов работы таких лазеров. Более того, как отмечено в работе [1]: «К настоящему времени нет количественной теории и даже понимания всех процессов, существенных для работы такого лазера». В данном сообщении обращается внимание на один из нелинейных процессов в лазере с ВРМБ-ВТР-зеркалами и приводятся результаты использования этого процесса для получения заданных характеристик лазерного излучения.

Исследование динамики генерации лазера с двумя ВРМБ-ВТР-зеркалами показало, что при инъекции внешнего сигнала через нелинейное зеркало (НЗ) (кувета

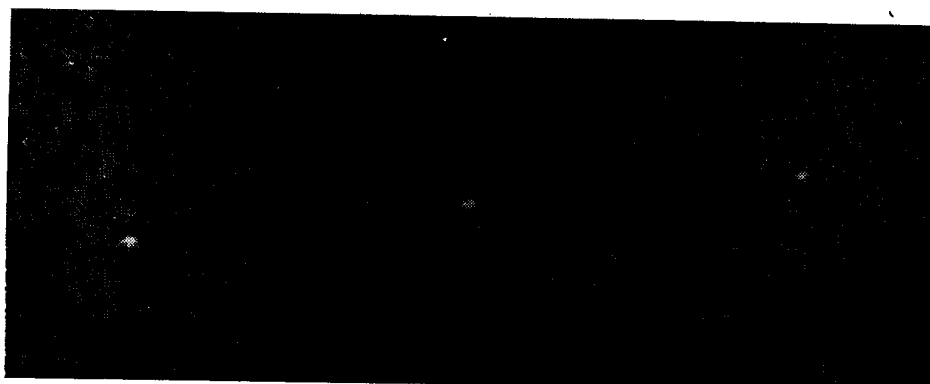


Рис. 1. Хронограмма спектра генерации в припороговом режиме (полукольцо второй гармоники) лазера с двумя нелинейными ВРМБ-зеркалами  
Временной интервал между импульсами 9 нс, область свободной дисперсии интерферометра Фабри — Перо  $2,5 \text{ см}^{-1}$ . Временная развертка слева направо

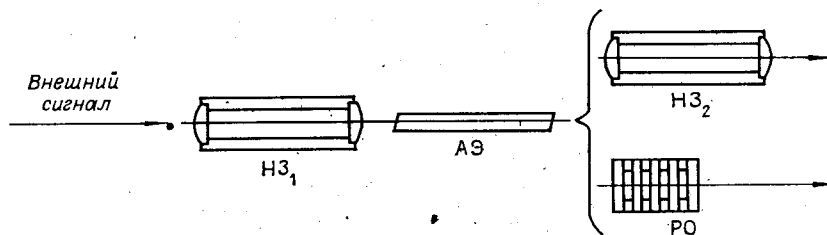


Рис. 2. Схема экспериментальной установки:  
АЭ — активный элемент; РО — резонансный отражатель

с софокусными линзами в виде окон, заполненная ацетоном) при определенных условиях происходит существенное уменьшение длительности (до  $\sim 10^{-10}$  с) импульсов стоксовых компонент ВРМБ лазерного излучения (рис. 1).

Внешний сигнал (рис. 2) представлял собой гигантский импульс с параметрами:  $\lambda = 1,06 \text{ мкм}$ , длительность  $\approx 30 \text{ нс}$ , мощность  $\lesssim 0,5 \text{ МВт}$ , ширина спектра  $< 10^{-2} \text{ см}^{-1}$ . Это излучение через оптическую развязку (призма Грана и пластинка  $\lambda/4$ ) проходило первую кювету, частично испытывая вынужденное рассеяние Мандельштама — Бриллюэна, усиливалось в активном элементе (силикатное стекло, активированное неодимом) и поступало на вторую кювету ( $\text{H3}_2$ ). Отраженный сигнал от второй кюветы (стоксова компонента) усиливался в активном элементе и поступал в первую кювету ( $\text{H3}_1$ ), где снова происходило частичное рассеяние назад, и т. д. Таким образом, после второй кюветы излучалась серия импульсов четных стоксовых компонент ВРМБ, при этом внешний сигнал «приводил в действие» нелинейные зеркала. Первоначально мы предполагали, что это происходит так же, как при введении внешнего сигнала через обычное зеркало с коэффициентом пропускания  $\sim 0,1$ , стоящее под углом внутри резонатора, образованного двумя НЗ [2, 3]. В этом случае внешний сигнал «включал» отражение одного НЗ, а отраженный сигнал, усилившийся, «включал» отражение другого НЗ. Длительности генерируемых в такой схеме импульсов были порядка времени двойного обхода резонатора и составляли  $\sim 5\text{--}10 \text{ нс}$ . В схеме же на рис. 2 длительности генерируемых импульсов оказались значительно меньше. Представляется возможным объяснить указанную разницу различием механизмов включения нелинейных зеркал внешним сигналом. Для выяснения этого различия регистрировались интегральные спектры излучения внешнего сигнала до входа в нелинейное зеркало (рис. 3, а) и этого же излучения, прошедшего нелинейное зеркало (рис. 3, б). Область свободной дисперсии интерферометра Фабри — Перо на рис. 3 составляет  $\approx 0,28 \text{ см}^{-1}$ . Как видно по уширению спектра из этого рисунка, возбуждающий генерацию в лазере с нелинейными зеркалами внешний сигнал, проходя первое нелинейное зеркало, испытывает фазовую модуляцию, что и проявляется в уширении его интегрального спектра. Не вдаваясь в причину данного эффекта (в наших условиях, как правило, это обычное поглощение света [4]), теперь можно по-иному рассмотреть влияние внешнего сигнала на генерацию лазера с двумя нелинейными зеркалами.

Частота внешнего сигнала в области нелинейного взаимодействия  $\text{H3}_1$  испытывает при фазовой модуляции за время импульса в основном свищирование в стоксовоу область спектра (это проверено дополнительными экспериментами). Величина свищирования достаточно велика. Как видно из рис. 3, б, она достигает десятых долей  $\text{см}^{-1}$ . Свищирование в стоксовоу область осуществляется на переднем фронте импульса внешнего сигнала, т. е. происходит за время  $\sim 15 \text{ нс}$ . В  $\text{H3}_2$  внешний сигнал рождается с аналогичным свищированием спектра слабые, идущие назад импульсы первых стоксовых компонент ВТР и ВРМБ. К моменту прихода этих компонент, усиленных активным элементом, в  $\text{H3}_1$  на короткое время, много меньшее длительности внешнего задающего импульса, продолжающий свищирование внешний сигнал может

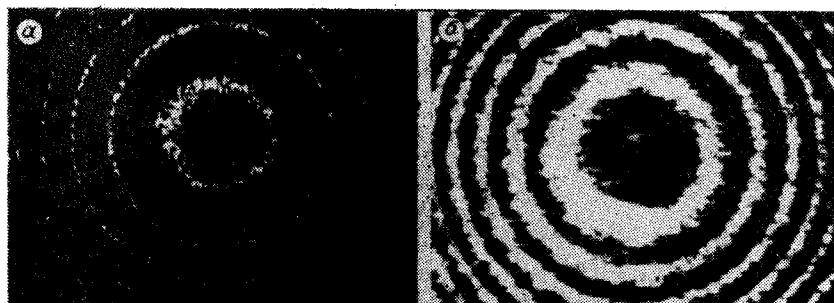


Рис. 3. Интегральный спектр излучения внешнего сигнала до входа в нелинейное зеркало (а) и прошедшего нелинейное зеркало (б)

служить мощным затравочным излучением на частоте вторых стоксовых компонент ВТР или ВРМБ. С этого момента в НЗ<sub>1</sub> вторая стоксова компонента ВРМБ или ВТР начинает нарастать не от уровня тепловых шумов, а от мощного нестационарного затравочного излучения, что и приводит к возникновению режима СКИ. Учитывая, что при субнаносекундной длительности этого режима эффективный коэффициент нестационарного усиления ВРМБ примерно на два порядка превосходит соответствующий коэффициент для ВТР, естественно полагать, что отражение в НЗ<sub>1</sub> от мощной затравки происходит за счет ВРМБ. Сформулированные предположения нуждаются, конечно, в дальнейшей экспериментальной проверке.

Однако нам показалось возможным достаточно простым способом использовать предполагаемый эффект «подогрева» шумов за счет фазовой модуляции в НЗ<sub>1</sub> для получения одиночных мощных импульсов субнаносекундной длительности.

Для этой цели выходное нелинейное зеркало НЗ<sub>2</sub> в схеме на рис. 2 было заменено резонансным отражателем, состоящим из пяти плоскопараллельных пластин (толщина пластины 2,5 мм). Все остальные элементы схемы и параметры внешнего сигнала остались без изменений.

В припороговом режиме такой лазер излучал мощные одиночные импульсы субнаносекундной длительности (рис. 4, а) с достаточно гладким и узким спектром, много меньшим по ширине спектра фазово-модулированного внешнего сигнала (рис. 4, б). Длительность импульса на хронограмме рис. 4, а меньше  $10^{-9}$  с, его энергия  $\sim 0,1$  Дж. Распределение в попечном сечении излучения достаточно однородное (темный провал на хронограмме рис. 4, а — поврежденный участок на экране ЭОПа). Высокая плотность мощности излучения внутри резонатора ( $>10^8$  Вт/см<sup>2</sup>) часто приводила к образованию микроразрушений в неодимовом стекле активного элемента лазера.

При дальнейшем увеличении накачки в генерации появлялись дополнительные импульсы такой же малой длительности, но меньшей амплитуды, излучавшиеся через аксиальный период и имевшие последовательный стоксов сдвиг по частоте на величину порядка мандельштам-брюллюэновского смещения.

При использовании резонансного отражателя с меньшим количеством пластин длительность генерируемых импульсов увеличивалась. Было также замечено, что эффективное уменьшение длительности в указанной схеме наблюдается лишь в том случае, когда задающий лазер — источник внешнего сигнала — излучает гигантский импульс с достаточно узким спектром ( $<10^{-2}$  см<sup>-1</sup>).

Таким образом, подбором соответствующего резонансного отражателя и величины превышения накачки над порогом можно получить генерацию субнаносекундных одиночных импульсов высокой мощности в лазере с одним ВРМБ-зеркалом.

С учетом фазовой модуляции в нелинейном зеркале работу такого лазера можно, очевидно, объяснить следующим образом. Из всего свирируемого спектрального диапазона внешнего сигнала резонансный отражатель эффективен только для узкой спектральной области. На основании [5] максимальный коэффициент отражения для используемого резонансного отражателя  $R_{\max} \approx 0,99$ , спектральная ширина отраженного сигнала меньше  $0,1$  см<sup>-1</sup>. Благодаря этому существенно укорачивается длительность отраженного сигнала. Затем сигнал эффективно отражается нелинейным зеркалом. Высокий коэффициент отражения связан с тем, что на частоте стоксовой компоненты ВРМБ уже присутствует существенно превосходящее шумы излучение, созданное свирируемым внешним сигналом. При этом временной характер свирирования приводит к дальнейшему уменьшению длительности сигнала. Резонансный отражатель в этом случае малоэффективен для усиленного активным элементом излучения из-за произошедшего в НЗ<sub>1</sub> сдвига по частоте, и короткий одиночный импульс покидает резонатор лазера. Таким образом, спектральная дискриминация в лазерном резонаторе с нелинейным зеркалом и резонансным отражателем приводит как к укорочению импульсов, так и к уменьшению их числа (вплоть до генерации единичных).

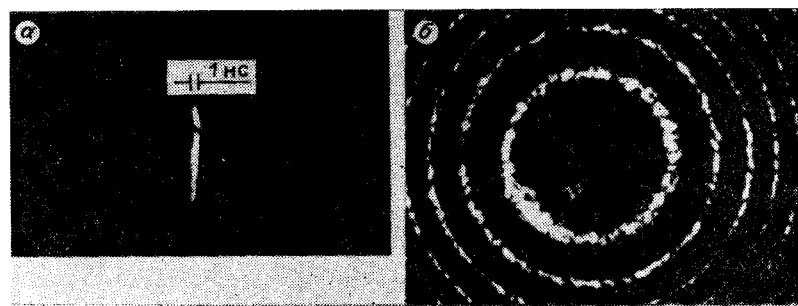


Рис. 4. Хронограмма попечного сечения (а) и интегральный спектр (б) субнаносекундного импульса.

Временная развертка слева направо, область свободной дисперсии интерферометра Фабри — Перо  $0,28$  см<sup>-1</sup>, регистрация по второй гармонике